



# 考虑时间效应的虚内键本构 及其在油气储层演化分析中的应用

汇报人：刘子寒（硕士研究生）      [zihanliu@sjtu.edu.cn](mailto:zihanliu@sjtu.edu.cn)

导 师：张振南 教授      [zhennanzhang@sjtu.edu.cn](mailto:zhennanzhang@sjtu.edu.cn)

单 位：上海交通大学土木工程系

2020年11月14日

1

研究背景

2

虚内键(VIB)方法简介

3

粘-超弹性VIB模型

4

参数标定

5

数值实现



1

研究背景

2

虚内键(VIB)方法简介

3

粘-超弹性VIB模型

4

参数标定

5

数值实现



# 1 背景



## ■ 岩石类材料的时变效应可能会威胁工程结构的安全性和稳定性

- ④ 蠕变源自亚临界裂纹的增长
- ④ 亚临界裂纹的增长与以下方面有关：
  - 应力腐蚀 (Stress corrosion) [1]
  - 静态疲劳 (Static fatigue) [2]
- ④ 为了有效地模拟蠕变行为，关键是如何将**微观裂纹增长与宏观本构模型联系起来**[1]

➡ 虚内键(VIB)理论

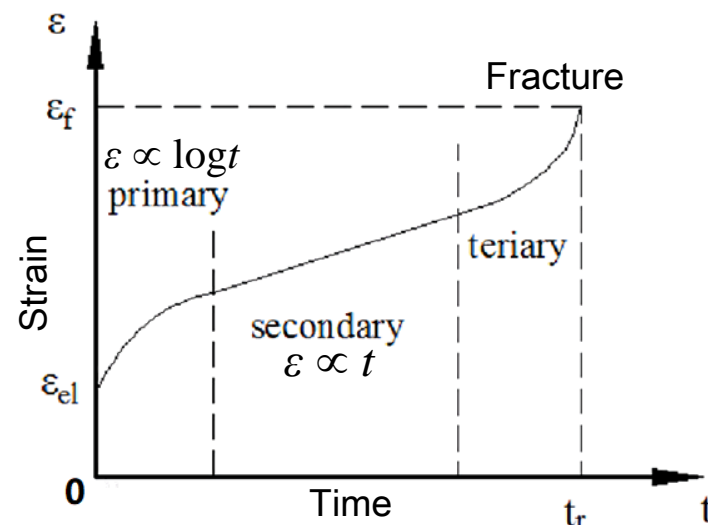


Fig. 蠕变断裂应变-时间曲线

1

研究背景

2

虚内键(VIB)理论简介

3

粘-超弹性VIB模型

4

参数标定

5

数值实现



## 2 虚内键(VIB)理论简介 (Gao and Klein, 1998)

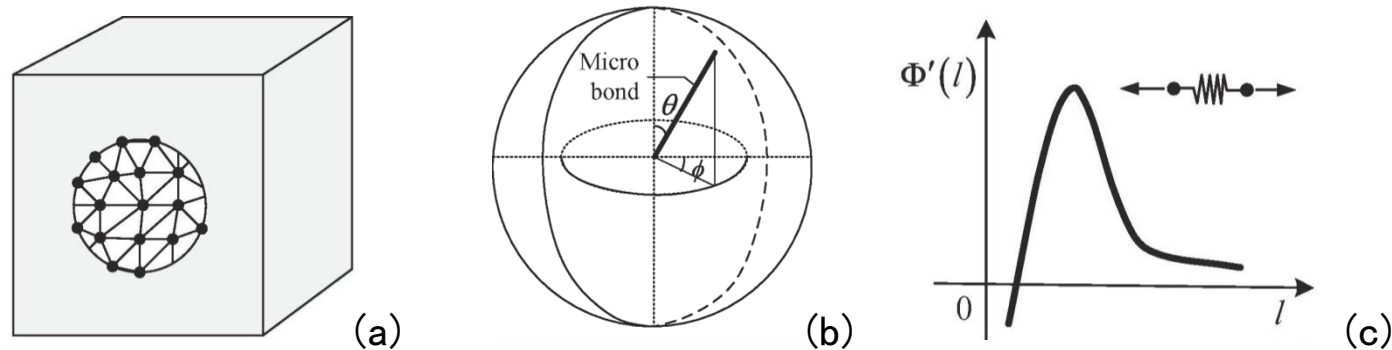


Fig. VIB建模方法

(a)VIB固体的代表性单元；(b)球坐标系中的虚内键；(c)内聚力法则

根据Cauchy-Born规则，键变形后的长度为  $l = l_0 \sqrt{\xi^T \bar{F}^T \bar{F} \xi}$

$\bar{F}$ : 代表单元的变形梯度

$\xi$ : 参考构型中键的方向向量

$E_{IJ}$ : 格林-拉格朗日应变张量

$$W = \frac{1}{V} \langle \Phi(l) \rangle$$

代表单元的总应变能密度



$$S_{IJ} = \frac{\partial W}{\partial E_{IJ}}$$

Piola-Kirchhoff应力张量



$$K_{IJKL} = \frac{\partial S_{IJ}}{\partial E_{KL}}$$

切线模量张量

$V$ : 代表性单元的体积； 积分算子  $\langle \dots \rangle = \begin{cases} \int_0^{2\pi} \int_0^\pi (\dots) D(\theta, \phi) \sin \theta d\theta d\phi & \text{三维} \\ \int_0^{2\pi} (\dots) D(\theta, \phi) d\theta & \text{二维} \end{cases}$

## 2 虚内键(VIB)理论简介 (Gao and Klein, 1998)

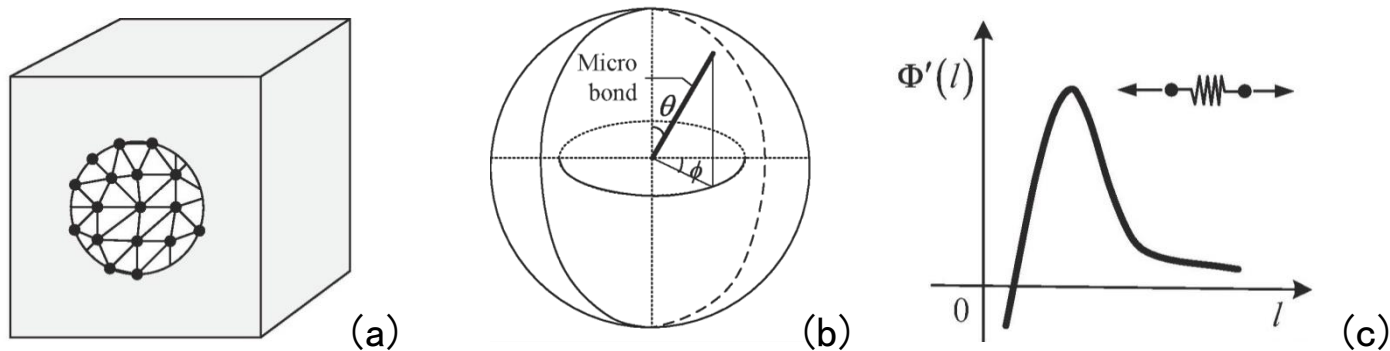


Fig. VIB建模方法

(a)VIB固体的代表单元；(b)球坐标系中的虚内键；(c)内聚力法则

优点：

- ④ 微观断裂机制自然地包含在宏观本构关系中
- ④ 微观键本质上是一维的，因此可以很容易地将流变规律考虑进来



1

研究背景

2

虚内键(VIB)方法简介

3

粘-超弹性VIB模型

4

参数标定

5

数值实现





### 3 粘-超弹性VIB模型

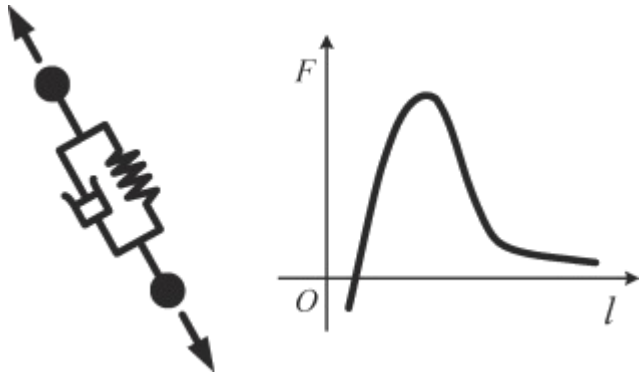


Fig.考虑时间效应的超弹性键和粘性键组成的混合键

- 考虑时间效应的超弹性开尔文(THK)键势<sup>[3]</sup>

$$\psi(l, \dot{l}) = \Phi(l, t) + \Psi(\dot{l}, l)$$

$\dot{l}$ 为键长变化率,  $\dot{l} = dl / dt$

$\Phi(l, t)$ 为超弹性键的势能

Piola–Kirchhoff应力张量  $S_{IJ} = \frac{\partial W}{\partial E_{IJ}}$

切线模量张量  $K_{IJKL} = \frac{\partial S_{IJ}}{\partial E_{KL}}$

切线粘性张量  $K_{IJKL} = \frac{\partial S_{IJ}}{\partial \dot{E}_{KL}}$

[3] Wang, Yujie and Zhang, Z. "Numerical simulation of creep fracture with internal time-dependent hyperelastic-Kelvin cohesive bonds." *Engineering Fracture Mechanics*, 213(2019):206-222.

### 3 粘-超弹性VIB模型



- 对于小变形情况

$$S_{IJ} \Rightarrow \sigma_{ij}, E_{IJ} \Rightarrow \varepsilon_{ij}$$

键长及其变化率可以表示成

$$l = l_0 + l_0 \xi_i \varepsilon_{ij} \xi_j, \quad \dot{l} = l_0 \xi_i \dot{\varepsilon}_{ij} \xi_j$$

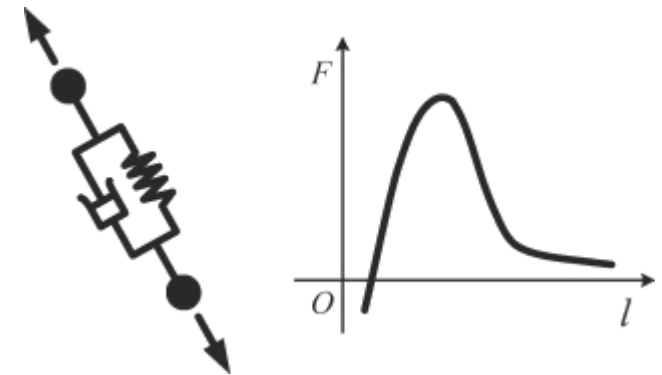


Fig. 考虑时间效应的超弹性键和粘性键组成的混合键

④ 应力张量

$$\sigma_{ij} = \frac{1}{V} \left\langle \frac{\partial \Phi(l, t)}{\partial l} l_0 \xi_i \xi_j + \frac{\partial \Psi(\dot{l}, l)}{\partial \dot{l}} l_0 \xi_i \xi_j \right\rangle$$

④ 切线模量张量

$$K_{ijkl} = \frac{\partial \sigma_{ij}}{\partial \varepsilon_{kl}} = \frac{1}{V} \left\langle \frac{\partial^2 \Phi(l, t)}{\partial l^2} l_0^2 \xi_i \xi_j \xi_k \xi_l + \frac{\partial^2 \Psi(\dot{l}, l)}{\partial \dot{l}^2} l_0^2 \xi_i \xi_j \xi_k \xi_l \right\rangle$$

④ 切线粘性张量

$$C_{ijkl} = \frac{\partial \sigma_{ij}}{\partial \dot{\varepsilon}_{kl}} = \frac{1}{V} \left\langle \frac{\partial^2 \Psi(\dot{l}, l)}{\partial \dot{l} \partial l} l_0^2 \xi_i \xi_j \xi_k \xi_l \right\rangle$$

$$\langle \dots \rangle = \begin{cases} \int_0^{2\pi} \int_0^\pi (\dots) D(\theta, \phi) \sin \theta d\theta d\phi & 3D \\ \int_0^{2\pi} (\dots) D(\theta, \phi) d\theta & 2D \end{cases}$$

1

研究背景

2

虚内键(VIB)方法简介

3

粘-超弹性VIB模型

4

参数标定

5

数值实现



## 4 参数标定



- 弹性势和粘性势的物理参数

$$A = \left. \frac{\partial^2 \Phi(l, t)}{\partial l^2} \right|_{\substack{l=l_0 \\ t=0}}, \quad B = \left. \frac{\partial^2 \Psi(i, l)}{\partial l^2} \right|_{\substack{i=0 \\ l=l_0}}, \quad \tilde{\eta} = \left. \frac{\partial^2 \Psi(i, l)}{\partial l \partial i} \right|_{\substack{i=0 \\ l=l_0}}, \quad \psi(l, i) = \Phi(l, t) + \Psi(i, l)$$

A: 表示超弹性键的初始刚度  
B: 表示粘性键的初始刚度  
 $\tilde{\eta}$ : 表示粘性键的初始粘度

考虑此时的VIB固体的代表性单元处于

$$\varepsilon = 0 \text{ \& \; } \dot{\varepsilon} = 0$$

$$K_{ijkl} = \frac{\partial \sigma_{ij}}{\partial \varepsilon_{kl}} = \frac{1}{V} \left\langle \frac{\partial^2 \Phi(l, t)}{\partial l^2} l_0^2 \xi_i \xi_j \xi_k \xi_l + \frac{\partial^2 \Psi(i, l)}{\partial l^2} l_0^2 \xi_i \xi_j \xi_k \xi_l \right\rangle \longrightarrow K_{ijkl} = \frac{\partial \sigma_{ij}}{\partial \varepsilon_{kl}} = \frac{1}{V} \langle (A + B) l_0^2 \xi_i \xi_j \xi_k \xi_l \rangle$$

$$C_{ijkl} = \frac{\partial \sigma_{ij}}{\partial \dot{\varepsilon}_{kl}} = \frac{1}{V} \left\langle \frac{\partial^2 \Psi(i, l)}{\partial l \partial i} l_0^2 \xi_i \xi_j \xi_k \xi_l \right\rangle \longrightarrow C_{ijkl} = \frac{\partial \sigma_{ij}}{\partial \dot{\varepsilon}_{kl}} = \frac{1}{V} \langle \tilde{\eta} l_0^2 \xi_i \xi_j \xi_k \xi_l \rangle$$

## 4 参数标定 弹性势参数

对于线弹性连续介质，三维胡克定律的形式为

$$[\sigma_{11} \quad \sigma_{22} \quad \sigma_{33} \quad \sigma_{12} \quad \sigma_{23} \quad \sigma_{31}]^T = Q[\varepsilon_{11} \quad \varepsilon_{22} \quad \varepsilon_{33} \quad \gamma_{12} \quad \gamma_{23} \quad \gamma_{31}]^T$$

$$Q = \frac{E(1-\nu)}{(1+\nu)(1-2\nu)} \begin{bmatrix} 1 & \frac{\nu}{1-\nu} & \frac{\nu}{1-\nu} & 0 & 0 & 0 \\ & 1 & \frac{\nu}{1-\nu} & 0 & 0 & 0 \\ & & 1 & 0 & 0 & 0 \\ & \text{Symmetric} & & \frac{1-2\nu}{2(1-\nu)} & 0 & 0 \\ & & & & \frac{1-2\nu}{2(1-\nu)} & 0 \\ & & & & & \frac{1-2\nu}{2(1-\nu)} \end{bmatrix}$$

$$K_{ijkl} = \frac{\partial \sigma_{ij}}{\partial \varepsilon_{kl}} = \frac{1}{V} \langle (A+B) l_0^2 \xi_i \xi_j \xi_k \xi_l \rangle$$

$$\Rightarrow Q_{\text{VIB}} = \frac{4\pi(A+B)l_0^2}{5V} \begin{bmatrix} 1 & 1/3 & 1/3 & 0 & 0 & 0 \\ & 1 & 1/3 & 0 & 0 & 0 \\ & & 1 & 0 & 0 & 0 \\ & \text{Symmetric} & & 1/3 & 0 & 0 \\ & & & & 1/3 & 0 \\ & & & & & 1/3 \end{bmatrix}$$

通过VIB固体和连续介质之间的等价关系

$$Q = Q_{\text{VIB}}$$

$$\begin{cases} \frac{E(1-\nu)}{(1+\nu)(1-2\nu)} = \frac{4\pi(A+B)l_0^2}{5V} \\ \frac{\nu}{1-\nu} = \frac{1}{3} \\ \frac{1-2\nu}{2(1-\nu)} = \frac{1}{3} \end{cases} \Rightarrow A+B = \frac{3EV}{2\pi l_0^2} \quad \nu = 0.25$$

## 4 参数标定 粘性势参数



材料的宏观粘度系数定义为  $\sigma = \eta \dot{\epsilon}$

类似于三维胡克定律, 可知  $[\sigma_{11} \quad \sigma_{22} \quad \sigma_{33} \quad \sigma_{12} \quad \sigma_{23} \quad \sigma_{31}]^T = \Omega [\dot{\epsilon}_{11} \quad \dot{\epsilon}_{22} \quad \dot{\epsilon}_{33} \quad \dot{\gamma}_{12} \quad \dot{\gamma}_{23} \quad \dot{\gamma}_{31}]^T$

$$\Omega = \frac{\eta(1-\nu)}{(1+\nu)(1-2\nu)} \begin{bmatrix} 1 & \frac{\nu}{1-\nu} & \frac{\nu}{1-\nu} & 0 & 0 & 0 \\ & 1 & \frac{\nu}{1-\nu} & 0 & 0 & 0 \\ & & 1 & 0 & 0 & 0 \\ & \text{Symmetric} & & \frac{1-2\nu}{2(1-\nu)} & 0 & 0 \\ & & & & \frac{1-2\nu}{2(1-\nu)} & 0 \\ & & & & & \frac{1-2\nu}{2(1-\nu)} \end{bmatrix}$$

$$C_{ijkl} = \frac{\partial \sigma_{ij}}{\partial \dot{\epsilon}_{kl}} = \frac{1}{V} \langle \tilde{\eta} l_0^2 \xi_i \xi_j \xi_k \xi_l \rangle$$

$$\Rightarrow \Omega_{\text{VIB}} = \frac{4\pi \tilde{\eta} l_0^2}{5V} \begin{bmatrix} 1 & 1/3 & 1/3 & 0 & 0 & 0 \\ & 1 & 1/3 & 0 & 0 & 0 \\ & & 1 & 0 & 0 & 0 \\ & \text{Symmetric} & & 1/3 & 0 & 0 \\ & & & & 1/3 & 0 \\ & & & & & 1/3 \end{bmatrix}$$

➡ 通过VIB固体和力学连续介质之间的等价关系  $\Omega = \Omega_{\text{VIB}}$

$$\left\{ \begin{array}{l} \frac{\eta(1-\nu)}{(1+\nu)(1-2\nu)} = \frac{4\pi \tilde{\eta} l_0^2}{5V} \\ \frac{\nu}{1-\nu} = \frac{1}{3} \\ \frac{1-2\nu}{2(1-\nu)} = \frac{1}{3} \end{array} \right. \quad \Rightarrow \quad \tilde{\eta} = \frac{3\eta V}{2\pi l_0^2} \quad \nu = 0.25$$

## 4 参数标定



与三维情况类似，二维状态下的参数可以推导为

$$A + B = \frac{3E_0V}{2\pi l_0^2} = \begin{cases} \frac{3EV}{2\pi l_0^2} & \text{平面应力} \\ \frac{8EV}{5\pi l_0^2} & \text{平面应变} \end{cases}$$

$$\tilde{\eta} = \frac{3\eta V}{2\pi l_0^2} = \begin{cases} \frac{3\eta V}{2\pi l_0^2} & \text{平面应力} \\ \frac{8\eta V}{5\pi l_0^2} & \text{平面应变} \end{cases}$$



1

研究背景

2

虚内键(VIB)方法简介

3

粘-超弹性VIB模型

4

参数标定

5

数值实现



## 5 数值实现



整个系统的控制方程  $M\ddot{u} + F(u, \dot{u}) = R$

通过中心差分法

$$u_1 = u_0 + \Delta t \left[ (1 - \theta) \dot{u}_0 + \theta \dot{u}_1 \right]$$

$$\dot{u}_1 = \dot{u}_0 + \Delta t \left[ (1 - \theta) \ddot{u}_0 + \theta \ddot{u}_1 \right]$$



$$\begin{aligned} \frac{1}{\theta^2 \Delta t^2} M u_1 + F_1(u_1, \dot{u}_1) &= R_1 + \left( \frac{1}{\theta} - 1 \right) R_0 + \frac{1}{\theta^2 \Delta t^2} M u_0 \\ &+ \frac{1}{\theta^2 \Delta t} M \dot{u}_0 - \left( \frac{1}{\theta} - 1 \right) F_0(u_0, \dot{u}_0) \end{aligned}$$

然后使用Newton-Raphson方法进行求解

谢谢！

